

A linear generative model for 3D Human Faces

Umberto Crema

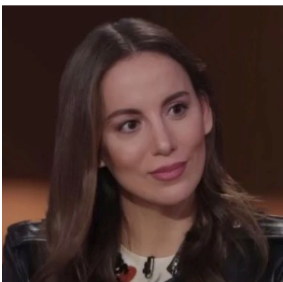
Mentore: Iacopo Masi

3° Weekend Ortogonale — Bertinoro 20-22 marzo 2026

Basato su: V. Blanz & T. Vetter, SIGGRAPH 1999



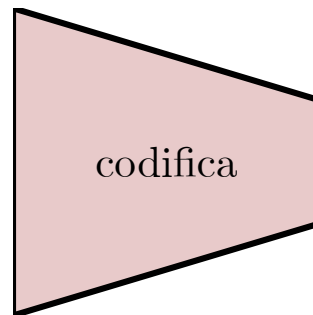
Quanti parametri servono per descrivere qualsiasi volto umano?



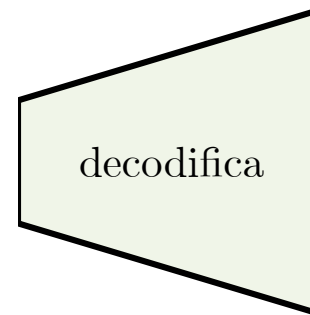
Rappresentazione del dato



rappresentazione ad
alta dimensione

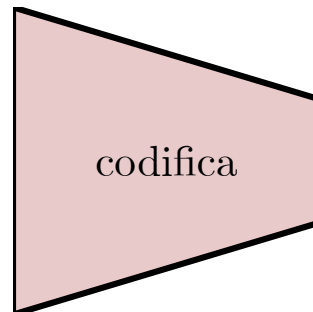


rappresentazione
a bassa
dimensione

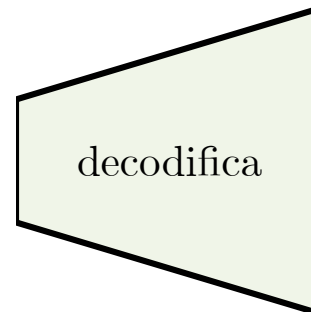


ricostruzione ad alta
dimensione

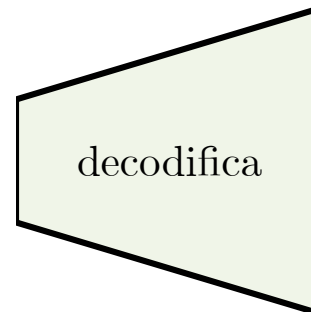
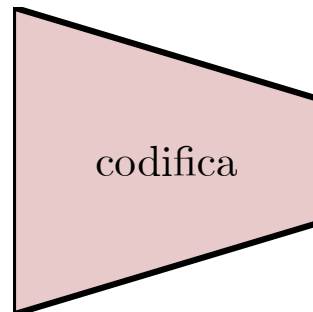
Obiettivo 1: trovare i parametri di un volto dato



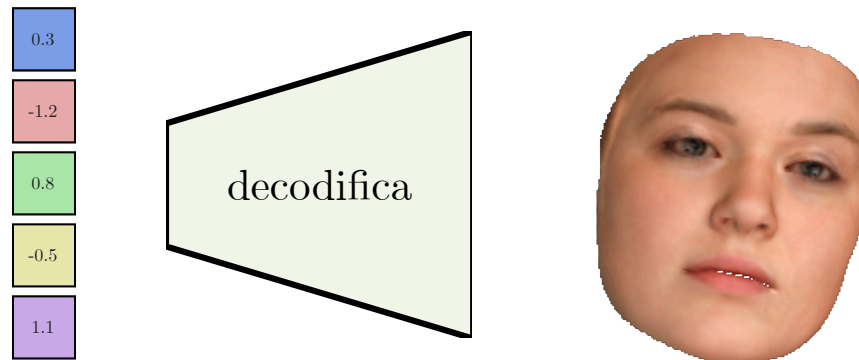
- 0.3
- 1.2
- 0.8
- 0.5
- 1.1



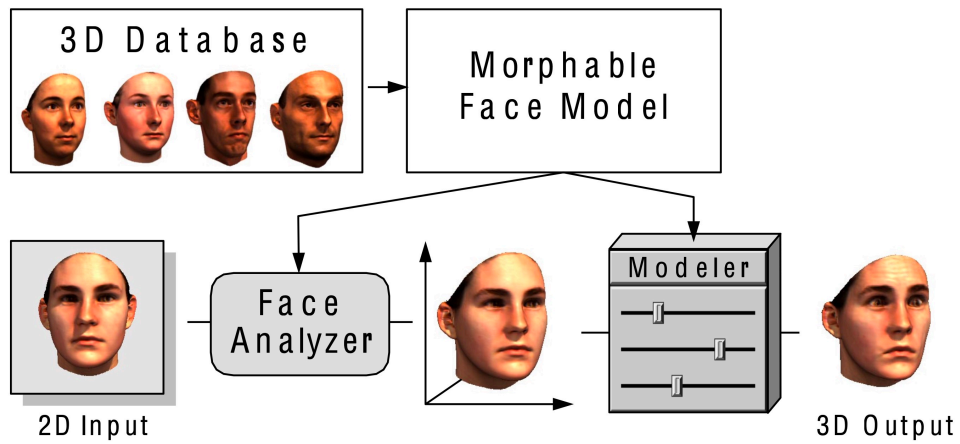
Obiettivo 2: modificare volti esistenti



Obiettivo 3: generare volti nuovi

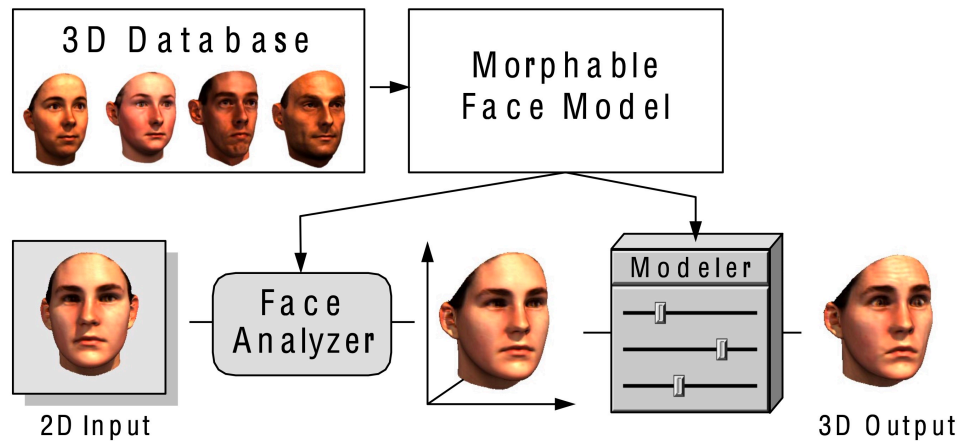


Il Sistema



Riferimenti immagine: Blanz & Vetter, A Morphable Model For The Synthesis Of 3D Faces, SIGGRAPH 1999

Il Sistema

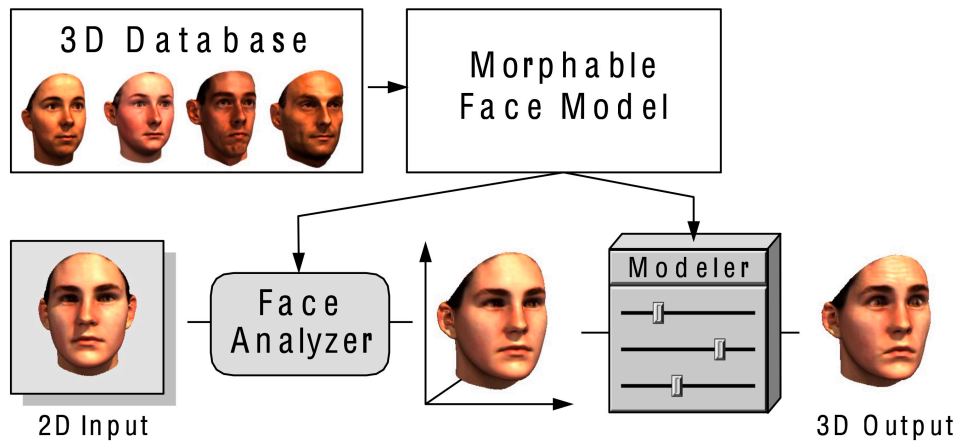


Costruzione del modello

Scansioni 3D → modello parametrico compatto

Riferimenti immagine: Blanz & Vetter, A Morphable Model For The Synthesis Of 3D Faces, SIGGRAPH 1999

Il Sistema



Costruzione del modello

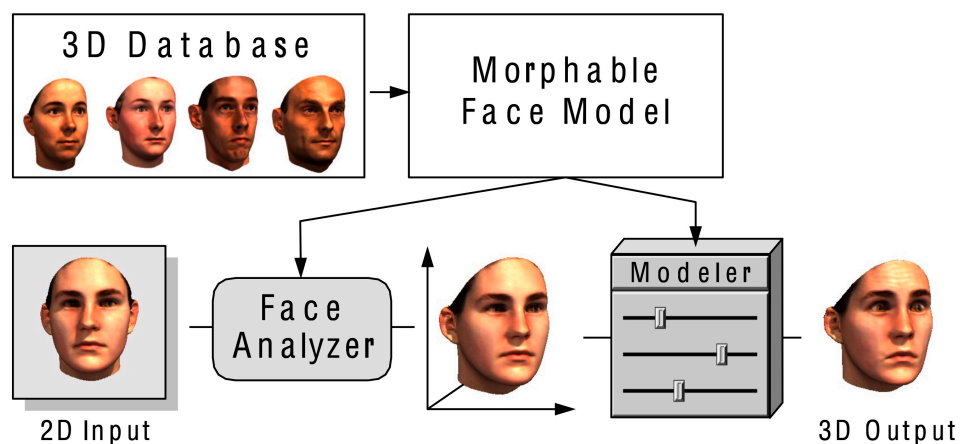
Scansioni 3D → modello parametrico compatto

Analisi (Codifica)

Foto 2D → parametri del volto corrispondente

Riferimenti immagine: Blanz & Vetter, A Morphable Model For The Synthesis Of 3D Faces, SIGGRAPH 1999

Il Sistema



Costruzione del modello

Scansioni 3D → modello parametrico compatto

Analisi (Codifica)

Foto 2D → parametri del volto corrispondente

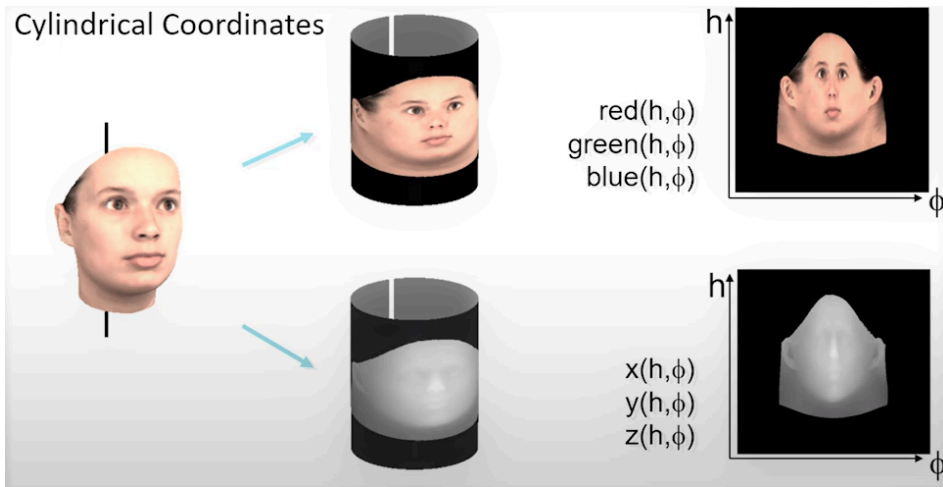
Sintesi (Decodifica)

Parametri → volto 3D generato o modificato

Riferimenti immagine: Blanz & Vetter, A Morphable Model For The Synthesis Of 3D Faces, SIGGRAPH 1999

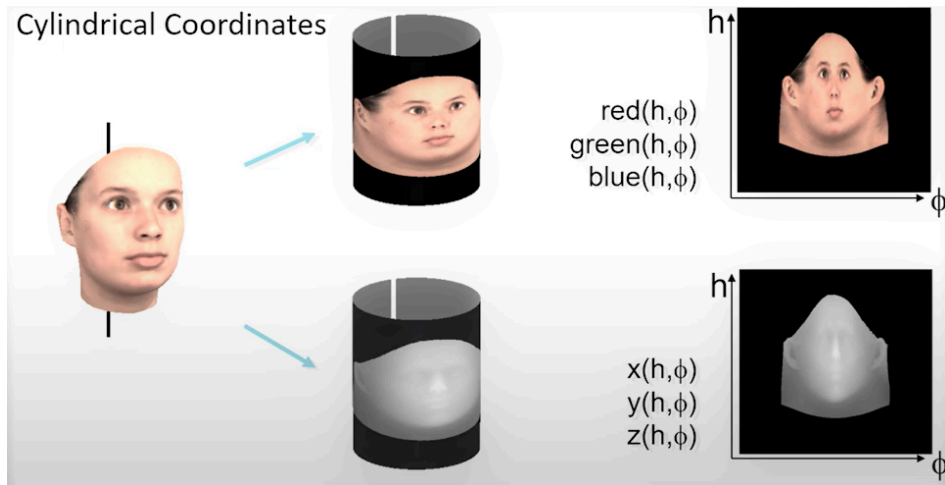
Il Dataset

200 scansioni laser di volti reali



Riferimenti immagine: datahacker.rs

Il Dataset



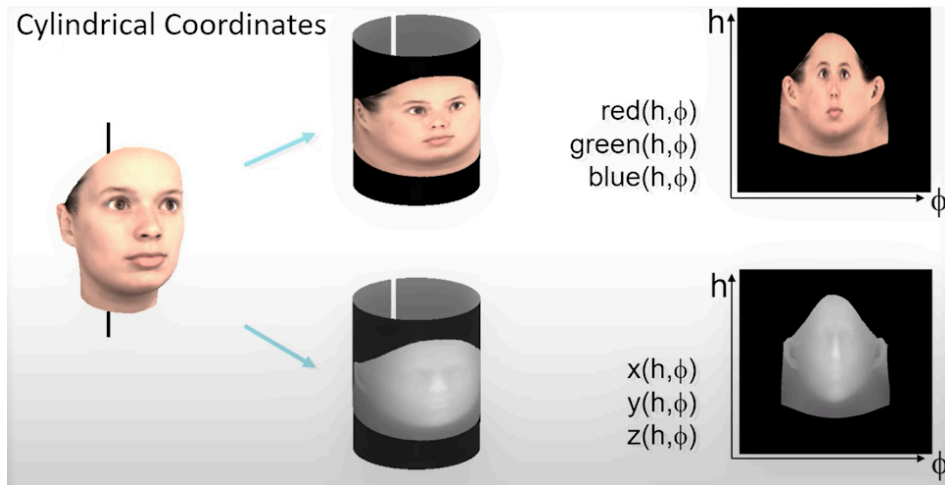
Riferimenti immagine: datahacker.rs

200 scansioni laser di volti reali

Ogni punto campionato in coordinate cilindriche (h, θ) :

- Shape: $r(h, \theta)$
- Texture: $R, G, B(h, \theta)$

Il Dataset



Riferimenti immagine: datahacker.rs

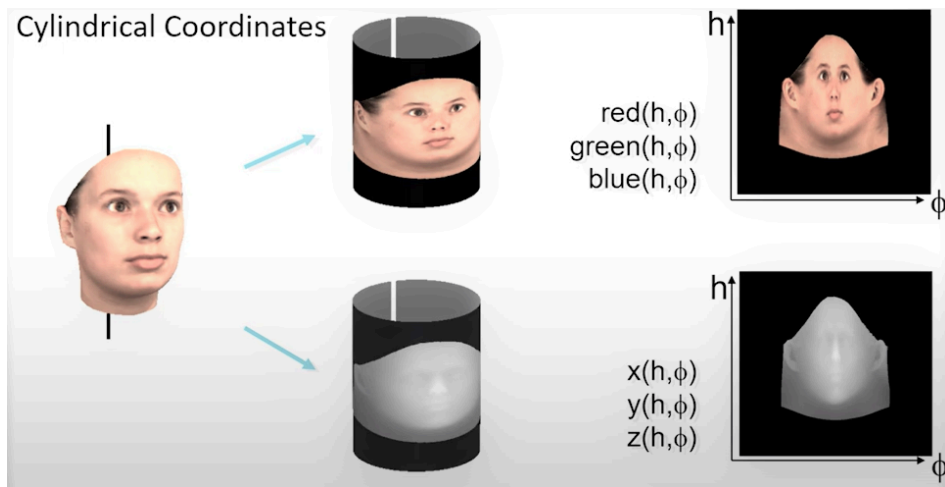
200 scansioni laser di volti reali

Ogni punto campionato in coordinate cilindriche (h, θ) :

- Shape: $r(h, \theta)$
- Texture: $R, G, B(h, \theta)$

$n = 70\,000$ punti per scansione

Il Dataset



Riferimenti immagine: datahacker.rs

200 scansioni laser di volti reali

Ogni punto campionato in coordinate cilindriche (h, θ):

- Shape: $r(h, \theta)$
- Texture: $R, G, B(h, \theta)$

$n = 70\,000$ punti per scansione

Ogni volto : vettore di $\approx 280\,000$ numeri

3D Morphable Face Model

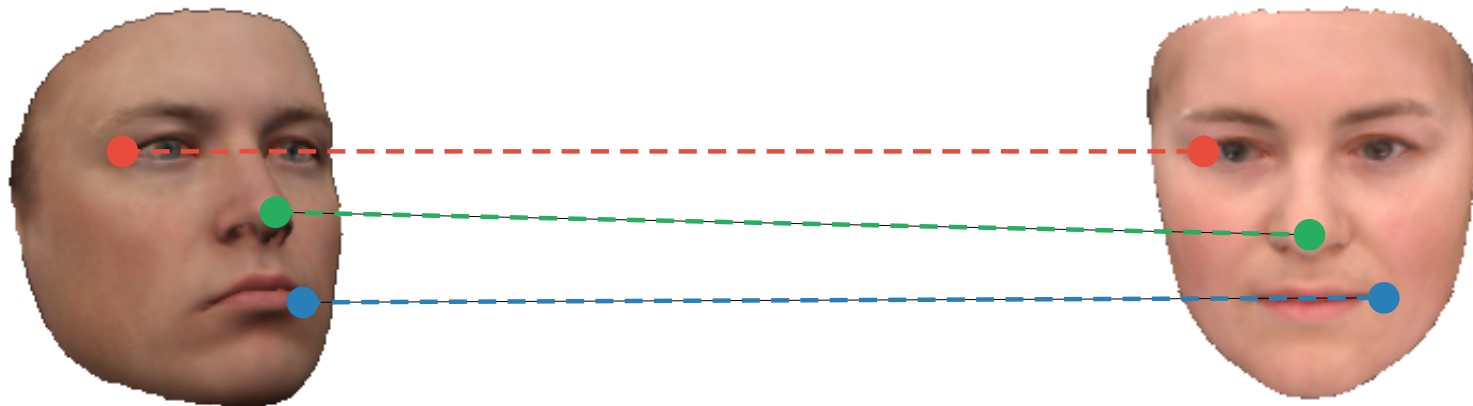
Shape: $S = (X_1, Y_1, Z_1, \dots, X_n, Y_n, Z_n)^T \in \mathbb{R}^{3n}$

Texture: $T = (R_1, G_1, B_1, \dots, R_n, G_n, B_n)^T \in \mathbb{R}^{3n}$

3D Morphable Face Model

Shape: $S = (X_1, Y_1, Z_1, \dots, X_n, Y_n, Z_n)^T \in \mathbb{R}^{3n}$

Texture: $T = (R_1, G_1, B_1, \dots, R_n, G_n, B_n)^T \in \mathbb{R}^{3n}$



Ipotesi fondamentale: volti allineati

Modello lineare

Morphable face model: combinazione lineare di m prototipi

$$S_{mod} = \sum_{i=1}^m a_i S_i \quad T_{mod} = \sum_{i=1}^m b_i T_i$$

Lo spazio dei volti

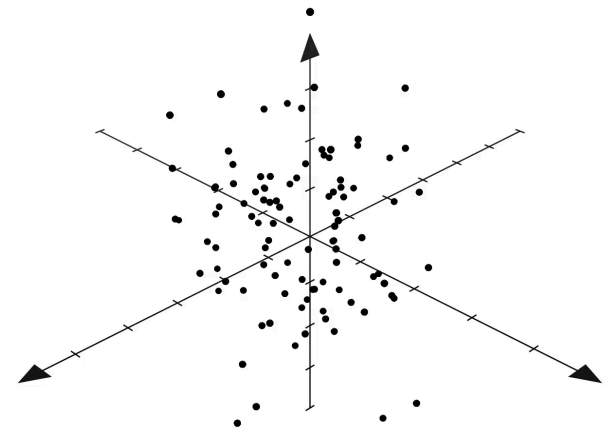
Morphable model: insieme di volti

$$(S_{mod}(\vec{a}), T_{mod}(\vec{b}))$$

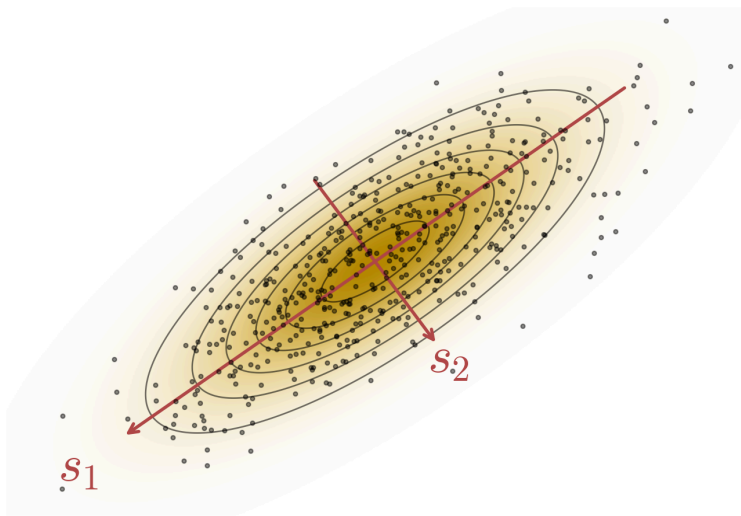
parametrizzato da:

- $\vec{a} = (a_1, \dots, a_m)^T$
- $\vec{b} = (b_1, \dots, b_m)^T$

Nuovi volti generati variando \vec{a} e \vec{b}



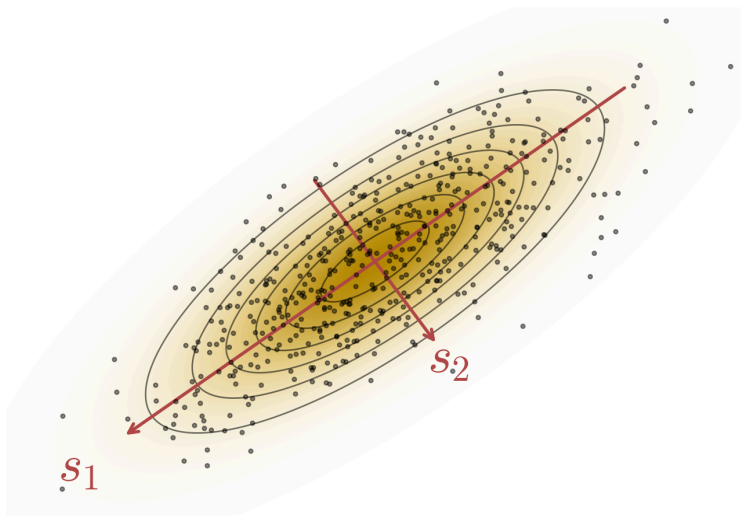
PCA sullo spazio dei volti



Proiezione 2D dello spazio dei volti (analogia)

PCA sullo spazio dei volti

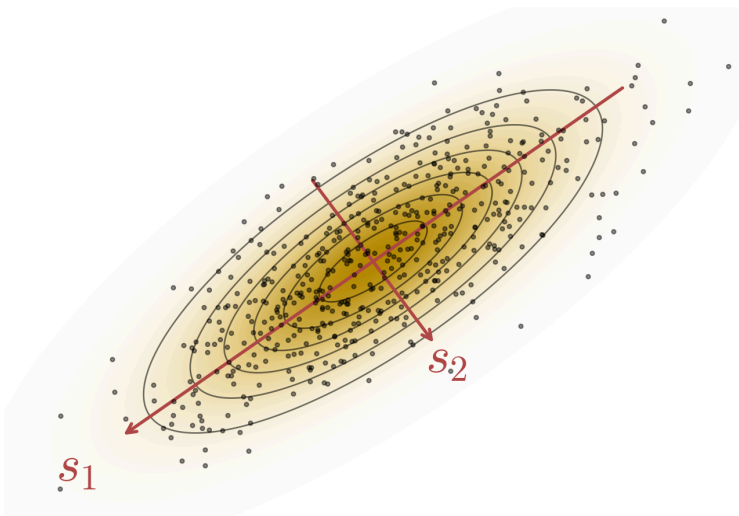
Volto medio: \bar{S} , \bar{T}



Proiezione 2D dello spazio dei volti (analogia)

PCA sullo spazio dei volti

Volto medio: \bar{S} , \bar{T}



Proiezione 2D dello spazio dei volti (analogia)

Matrici di covarianza:

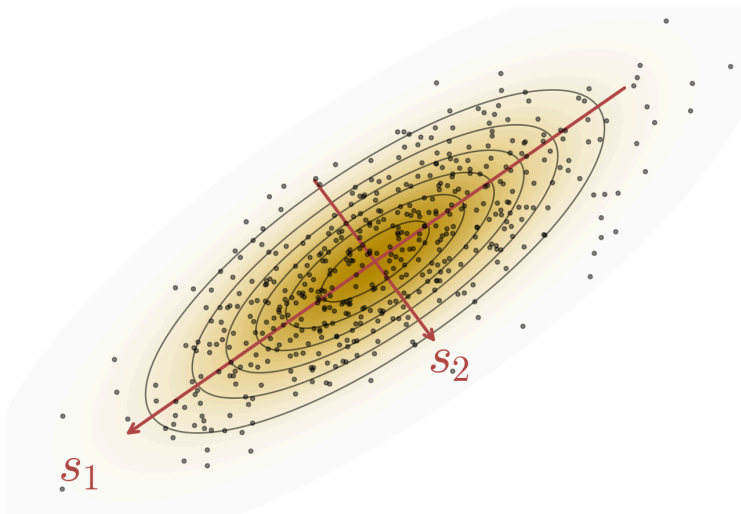
- C_S dalla shape: $\Delta S_i = S_i - \bar{S}$
- C_T dalla texture: $\Delta T_i = T_i - \bar{T}$

PCA su C_S , C_T

→ componenti principali s_j , t_j
ordinate per varianza (autovalore) decrescente

PCA sullo spazio dei volti

Volto medio: \bar{S} , \bar{T}



Matrici di covarianza:

- C_S dalla shape: $\Delta S_i = S_i - \bar{S}$
- C_T dalla texture: $\Delta T_i = T_i - \bar{T}$

PCA su C_S , C_T

→ componenti principali s_j , t_j
ordinate per varianza (autovalore) decrescente

Proiezione 2D dello spazio dei volti (analogia)



Rappresentazione compatta

Ogni volto si esprime come scostamento dal volto medio lungo le componenti principali:

$$S_{mod} = \bar{S} + \sum_{i=1}^{m-1} \alpha_i s_i \quad T_{mod} = \bar{T} + \sum_{i=1}^{m-1} \beta_i t_i$$

Rappresentazione compatta

Ogni volto si esprime come scostamento dal volto medio lungo le componenti principali:

$$S_{mod} = \bar{S} + \sum_{i=1}^{m-1} \alpha_i s_i \quad T_{mod} = \bar{T} + \sum_{i=1}^{m-1} \beta_i t_i$$

I coefficienti α_i, β_i sono i **parametri del modello**.

da $\approx 280\,000$ numeri a poche decine di **parametri significativi**

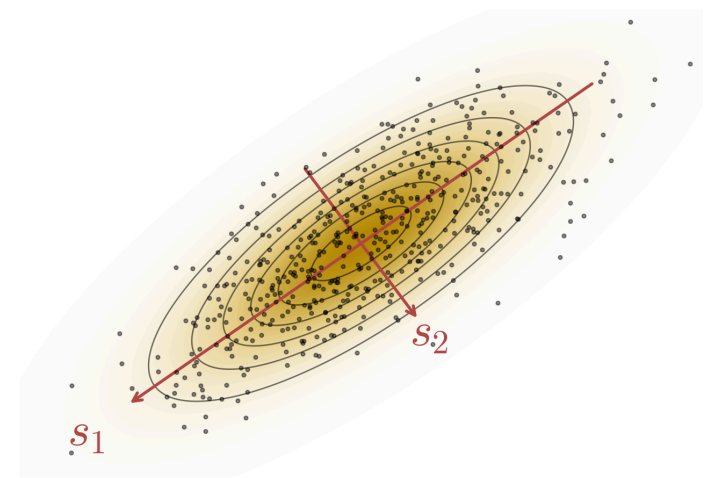
Modellazione del volto variando solo i primi k coefficienti

Plausibilità dei volti

Probabilità a priori per distinguere facce plausibili da innaturali:

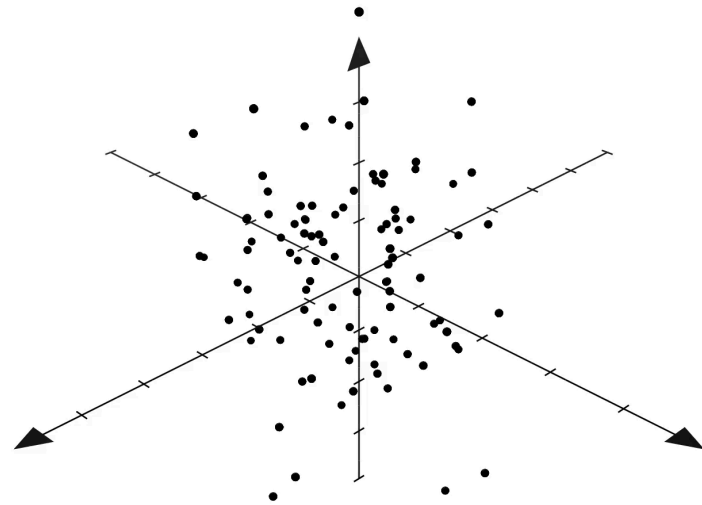
$$p(\vec{\alpha}) \sim \exp \left[-\frac{1}{2} \sum_{i=1}^{m-1} \left(\frac{\alpha_i}{\sigma_i} \right)^2 \right]$$

$$\sigma_i^2 = \lambda_i^S \quad (\text{autovalore di } C_S)$$



Fitting ad un'immagine

Obiettivo: data un'immagine,
trovare i parametri per i quali
il rendering del volto modellato
è simile all'immagine



Due tipi di parametri

Coefficienti 3DMM

$\vec{\alpha}, \vec{\beta}$

- shape del volto
- texture del volto

proprietà intrinseche

Parametri di rendering

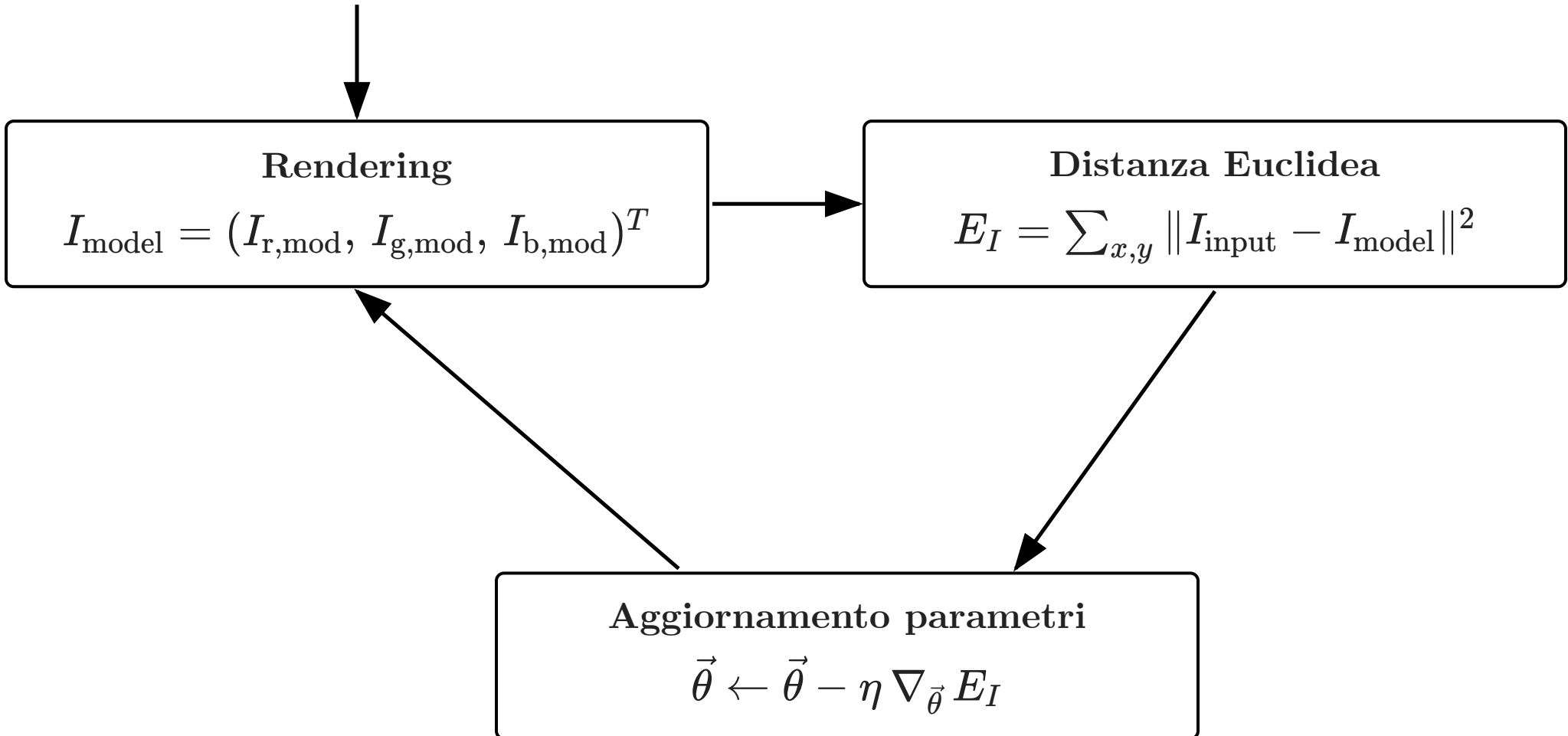
$\vec{\rho}$

- posizione, rotazione, scala
- illuminazione

proprietà estrinseche

Loop Analysis-By-Synthesis

$\vec{\alpha}, \vec{\beta}, \vec{\rho}$ inizializzati ai valori medi



Loop Analysis-By-Synthesis

$\vec{\alpha}, \vec{\beta}, \vec{\rho}$ inizializzati ai valori medi



Rendering

$$I_{\text{model}} = (I_{r,\text{mod}}, I_{g,\text{mod}}, I_{b,\text{mod}})^T$$

Distanza Euclidea

$$E_I = \sum_{x,y} \|I_{\text{input}} - I_{\text{model}}\|^2$$

Aggiornamento parametri

$$\vec{\theta} \leftarrow \vec{\theta} - \eta \nabla_{\vec{\theta}} E_I$$

Loop Analysis-By-Synthesis

$\vec{\alpha}, \vec{\beta}, \vec{\rho}$ inizializzati ai valori medi

Rendering

$$I_{\text{model}} = (I_{r,\text{mod}}, I_{g,\text{mod}}, I_{b,\text{mod}})^T$$



Distanza Euclidea

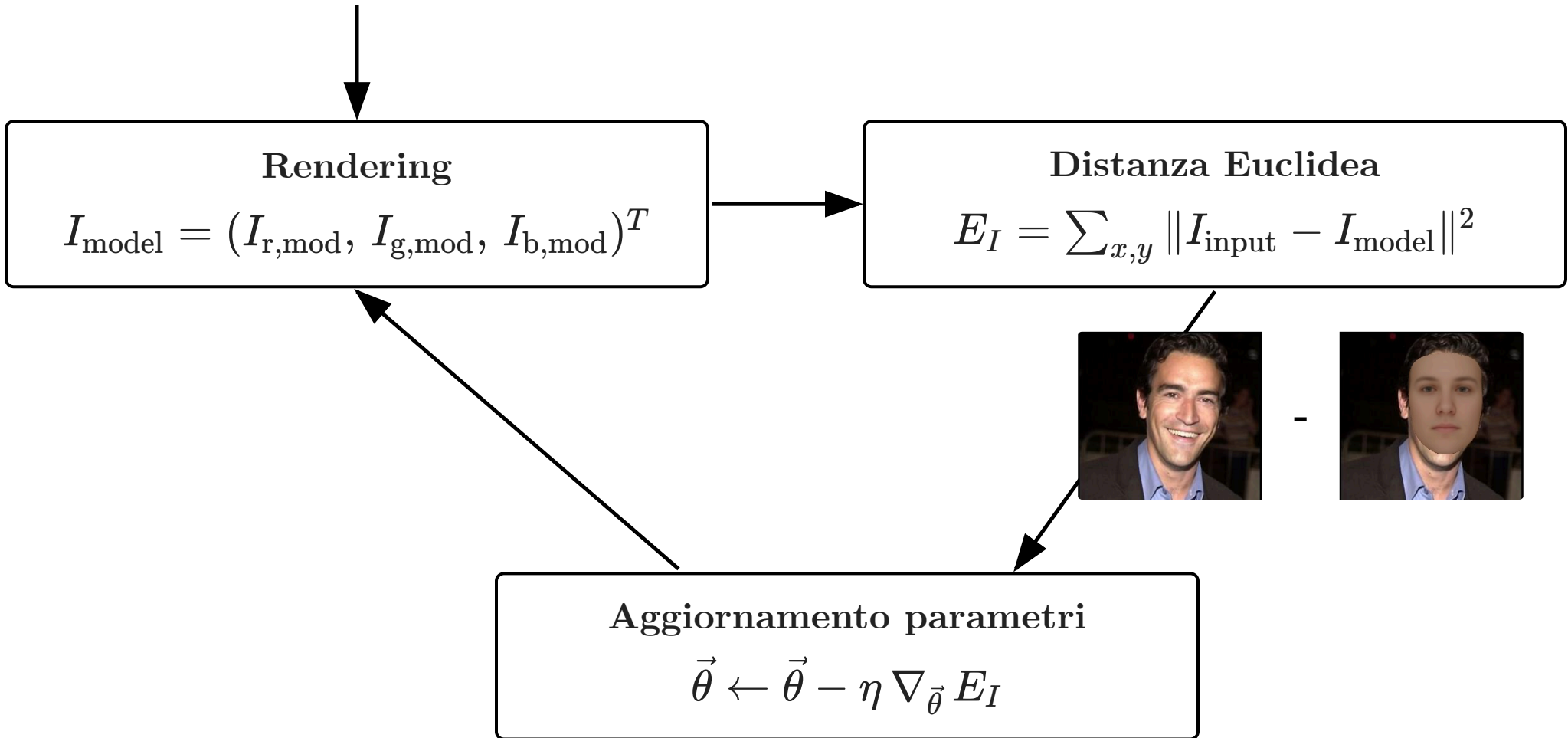
$$E_I = \sum_{x,y} \|I_{\text{input}} - I_{\text{model}}\|^2$$

Aggiornamento parametri

$$\vec{\theta} \leftarrow \vec{\theta} - \eta \nabla_{\vec{\theta}} E_I$$

Loop Analysis-By-Synthesis

$\vec{\alpha}, \vec{\beta}, \vec{\rho}$ inizializzati ai valori medi



Loop Analysis-By-Synthesis

$\vec{\alpha}, \vec{\beta}, \vec{\rho}$ inizializzati ai valori medi

Rendering

$$I_{\text{model}} = (I_{r,\text{mod}}, I_{g,\text{mod}}, I_{b,\text{mod}})^T$$



Distanza Euclidea

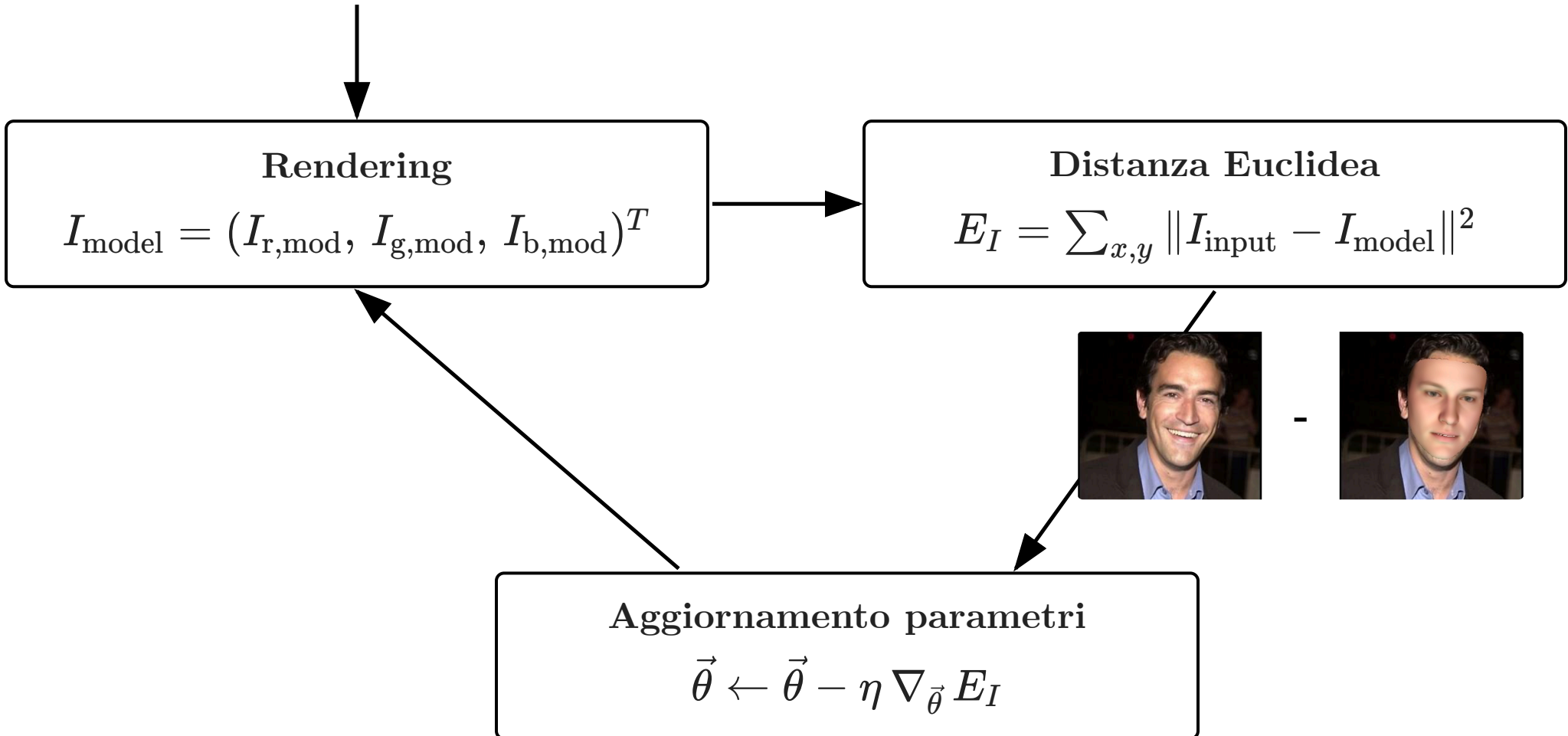
$$E_I = \sum_{x,y} \|I_{\text{input}} - I_{\text{model}}\|^2$$

Aggiornamento parametri

$$\vec{\theta} \leftarrow \vec{\theta} - \eta \nabla_{\vec{\theta}} E_I$$

Loop Analysis-By-Synthesis

$\vec{\alpha}, \vec{\beta}, \vec{\rho}$ inizializzati ai valori medi



Loop Analysis-By-Synthesis

$\vec{\alpha}, \vec{\beta}, \vec{\rho}$ inizializzati ai valori medi

Rendering

$$I_{\text{model}} = (I_{r,\text{mod}}, I_{g,\text{mod}}, I_{b,\text{mod}})^T$$

Distanza Euclidea

$$E_I = \sum_{x,y} \|I_{\text{input}} - I_{\text{model}}\|^2$$

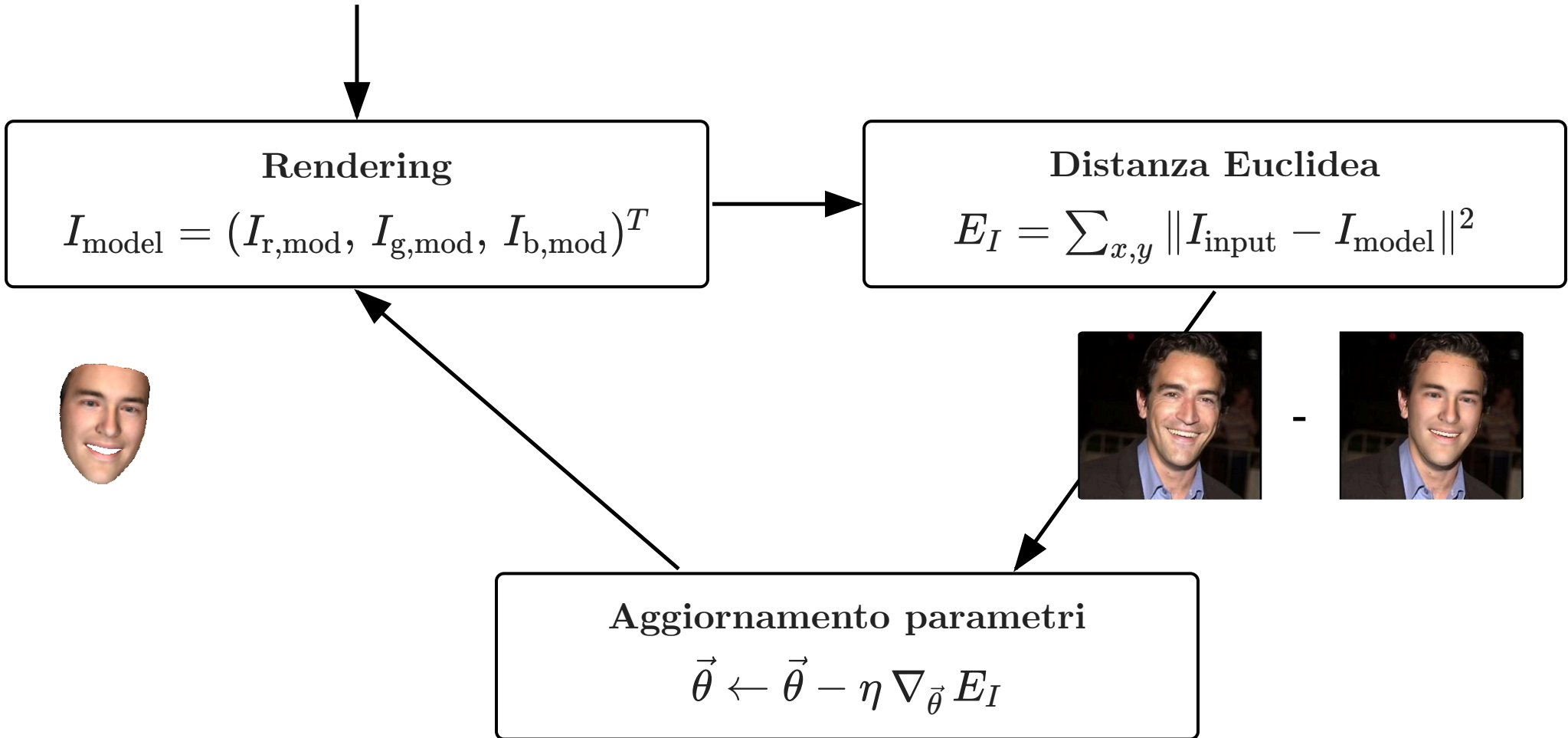
Aggiornamento parametri

$$\vec{\theta} \leftarrow \vec{\theta} - \eta \nabla_{\vec{\theta}} E_I$$



Loop Analysis-By-Synthesis

$\vec{\alpha}, \vec{\beta}, \vec{\rho}$ inizializzati ai valori medi



Problema mal posto



Ricostruzione corretta



Rendering



Ricostruzione degenera

Tradeoff:

- Qualità: E_I
- Probabilità: $p(\vec{\alpha}, \vec{\beta})$

Maximum A Posteriori

Likelihood

$$p(I_{\text{input}} \mid \vec{\alpha}, \vec{\beta}, \vec{\rho}) \sim \exp \left[-\frac{E_I}{2\sigma_N^2} \right]$$

Maximum A Posteriori

Likelihood

$$p(I_{\text{input}} \mid \vec{\alpha}, \vec{\beta}, \vec{\rho}) \sim \exp \left[-\frac{E_I}{2\sigma_N^2} \right]$$

Funzione di costo

$$\arg \max_{\vec{\alpha}, \vec{\beta}, \vec{\rho}} p(\vec{\alpha}, \vec{\beta}, \vec{\rho} \mid I_{\text{input}}) = \arg \max_{\vec{\alpha}, \vec{\beta}, \vec{\rho}} \frac{p(I_{\text{input}} \mid \vec{\alpha}, \vec{\beta}, \vec{\rho}) p(\vec{\alpha}, \vec{\beta}, \vec{\rho})}{p(I_{\text{input}})} =$$

$$\arg \min_{\vec{\alpha}, \vec{\beta}, \vec{\rho}} \left[\underbrace{\frac{E_I}{\sigma_N^2}}_{\text{qualità}} + \underbrace{\sum_j \frac{\alpha_j^2}{\sigma_{S,j}^2} + \sum_j \frac{\beta_j^2}{\sigma_{T,j}^2} + \sum_j \frac{(\rho_j - \bar{\rho}_j)^2}{\sigma_{\rho,j}^2}}_{\text{plausibilità}} \right]$$

Coarse to fine

2 fasi:

- fitting rigido: posizione, rotazione, scala
- fitting non rigido: shape, texture, illuminazione
 - prima $\alpha_1, \dots, \alpha_k, \beta_1, \dots, \beta_k$
 - poi $\alpha_{k+1}, \dots, \beta_{k+1}, \dots$



Coarse to fine

2 fasi:

- fitting rigido: posizione, rotazione, scala
- fitting non rigido: shape, texture, illuminazione
 - prima $\alpha_1, \dots, \alpha_k, \beta_1, \dots, \beta_k$
 - poi $\alpha_{k+1}, \dots, \beta_{k+1}, \dots$

σ_N^2 decrescente:

- inizio: valore alto \rightarrow tanto peso alla prior
- fine: valore basso \rightarrow tanto peso alla qualità del match



Applicazioni: Riconoscimento facciale

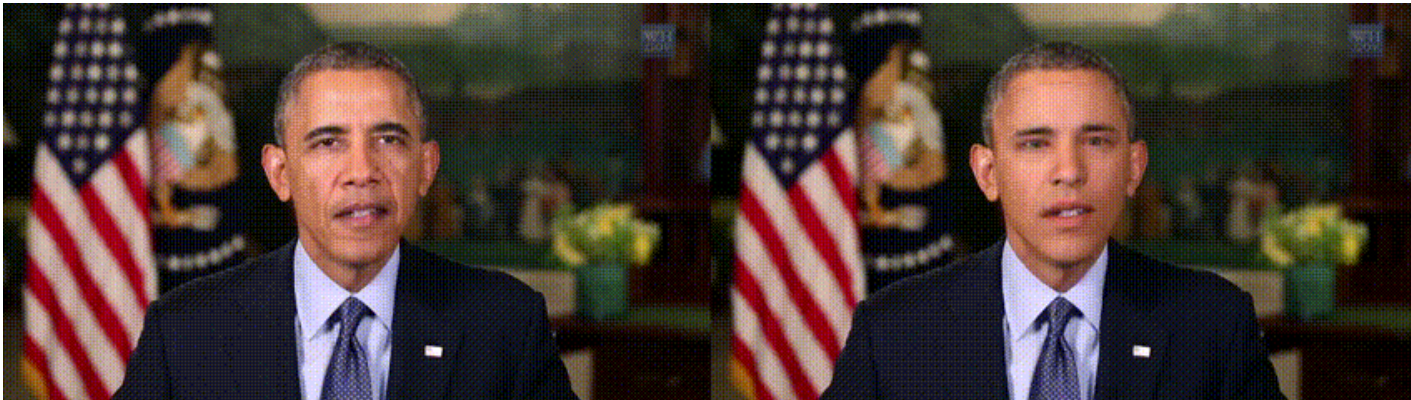
- $\vec{\alpha}, \vec{\beta}$ separano identità da posa e illuminazione
- Metrica di distanza robusta a pose, luci, espressioni



Limite: prestazioni in-the-wild non convincenti

Applicazioni: Intrattenimento

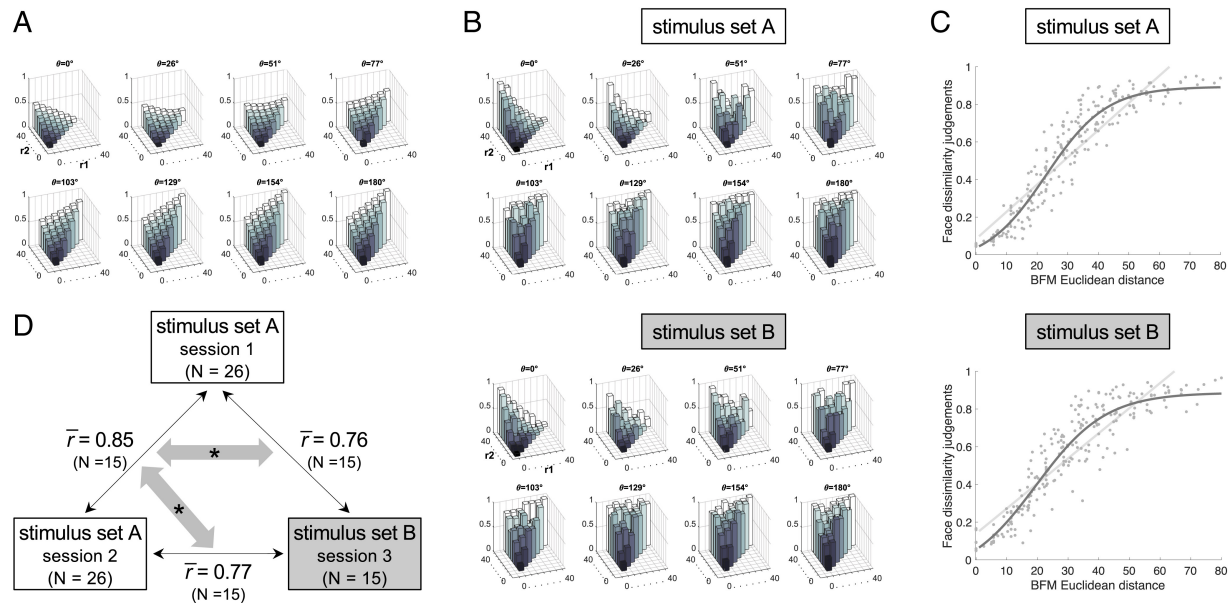
- Avatar in tempo reale: ricostruzione da singola immagine e controllo via webcam
- Face reenactment: trasferimento di espressioni, precursore dei deepfake
- Visual dubbing: adattamento del movimento labiale a nuova traccia audio



Riferimenti immagine: github.com/ascust/3DMM-Fitting-Pytorch

Applicazioni: Neuroscienze e psicologia

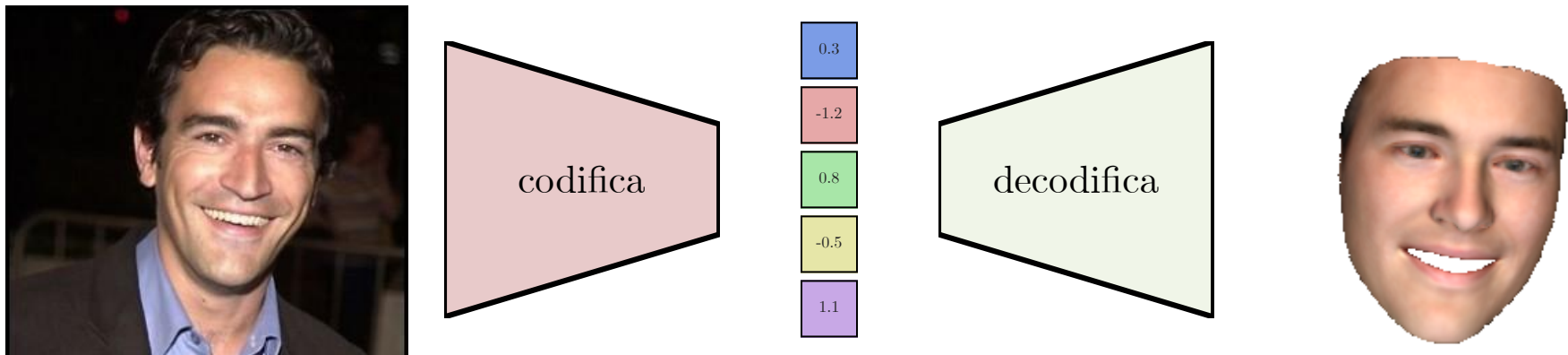
- Vantaggio: controllo preciso degli stimoli facciali
- Singoli neuroni rispondono lungo gli assi principali del 3DMM



Jozwik et al., Face dissimilarity judgments are predicted by representational distance in morphable and image-computable models

L'evoluzione dei 3DMM

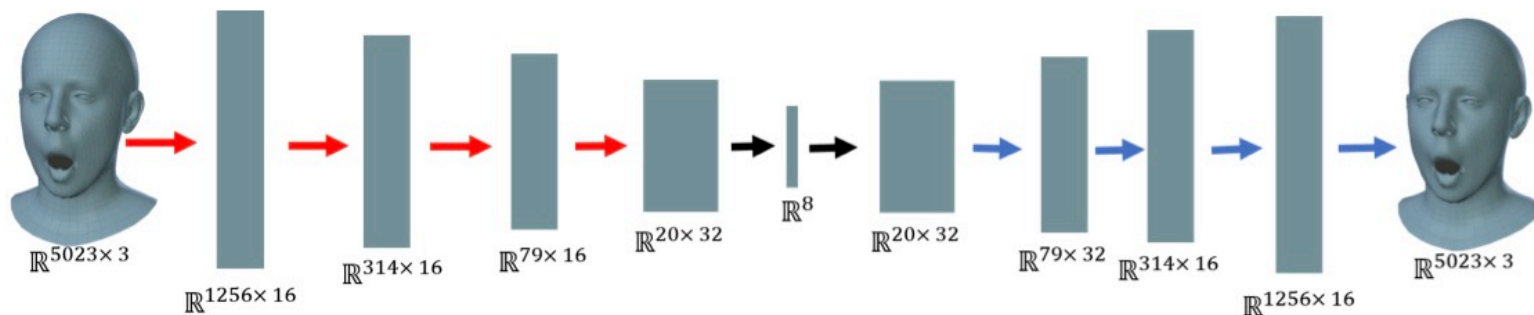
PCA: codifica e decodifica lineare, singolo hidden layer.



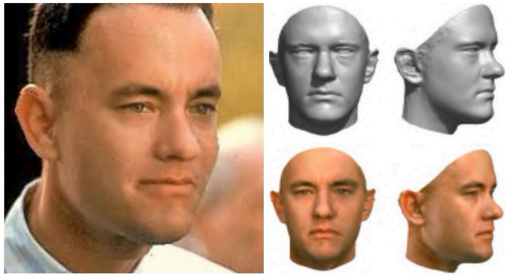
L'evoluzione dei 3DMM

PCA: codifica e decodifica lineare, singolo hidden layer.

Autoencoder: codifica e decodifica non lineare, numerosi hidden layers.



L'evoluzione dei 3DMM



1999

L'evoluzione dei 3DMM

